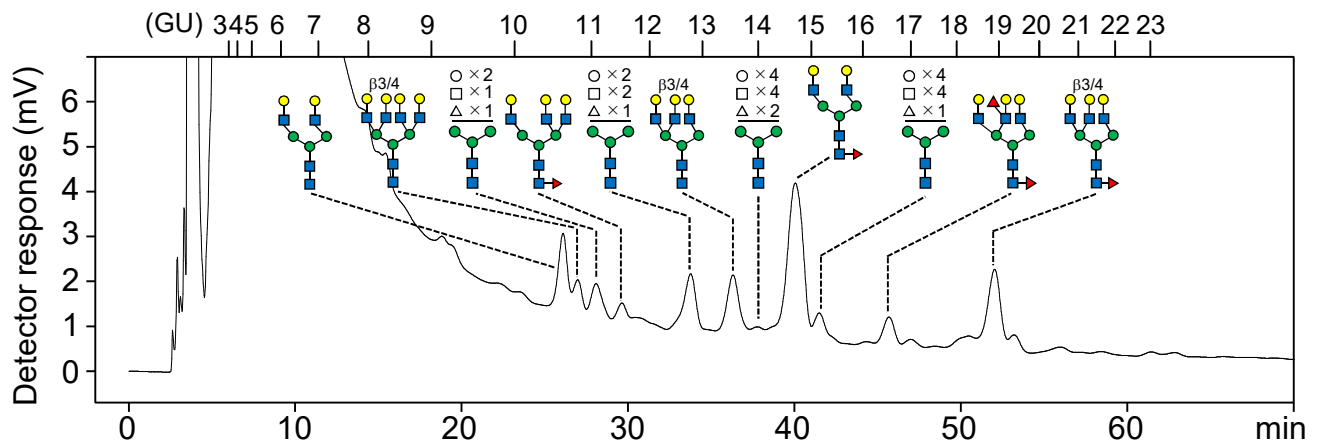


Figure S3 (Kondo et al)

H1299-sEVs



HCC827-sEVs

